

大学物理讲稿

光学

李列明

清华大学物理系

2 光的衍射

2.1 衍射现象及其解释：惠更斯-菲涅耳原理

2.2 单缝夫琅禾费衍射

2.3 光栅衍射

2.4 X射线衍射（自学）

2.5 光学仪器分辨本领（自学、重要）

2.1 衍射现象及其解释

2.1.1 现象和分类

现象：偏离直线传播的现象（见教材）

分类：菲涅耳衍射和夫琅禾费衍射（见教材）

2.1 衍射现象及其解释

2.1.2 惠更斯-菲涅耳原理

菲涅耳修改了惠更斯原理→惠更斯-菲涅耳原理

- ▶ 保留了核心的子波概念
- ▶ 认为各子波源辐射的子波相干叠加；
- ▶ 一些定量方面的修改；
- ▶ 能从严格的电磁波理论导出。

2.1 衍射现象及其解释

2.1.3 夫琅禾费衍射公式

惠更斯-菲涅耳原理→夫琅禾费衍射的一般公式

$$A(\vec{r}) \propto \iint_{(\Sigma)} A(\vec{r}') e^{-i2\pi R/\lambda} ds', \quad \vec{R} = \vec{r} - \vec{r}'$$

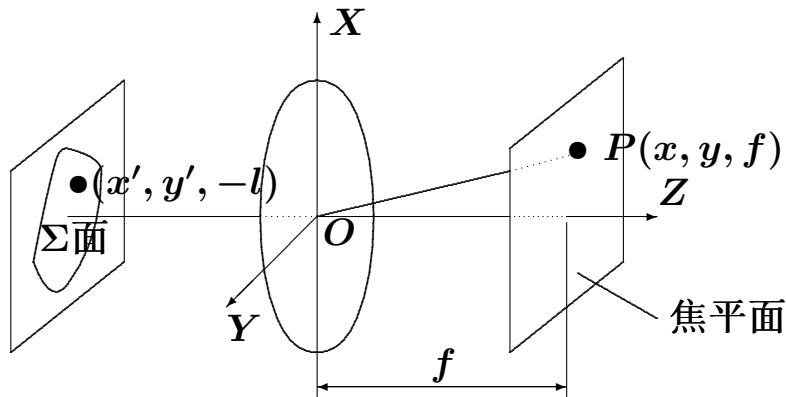
式中， $A(\vec{r})$ 是 \vec{r} 处的复振幅， \vec{r}' 为面元 ds' 的矢径。

这是本课程全部衍射理论的出发点，对其物理意义、物理图像应该有足够的理解。

2.1 衍射现象及其解释

2.1.4 有透镜时的夫琅禾费衍射公式

有透镜时，通常
在透镜的焦平面处观察衍射场； Σ 面平行焦平面。



$$A(x, y) = c' \iint_{(\Sigma)} A(x', y') e^{i2\pi(x' \cos \alpha + y' \cos \beta)/\lambda} dx' dy'$$

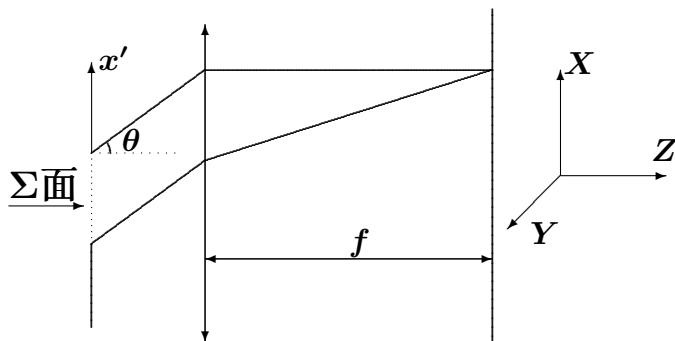
2.1.4 有透镜时的夫琅禾费衍射公式

本课程范围内，大多数情况下

Σ 面是 Y 方向无限延伸，其上入射场的复振幅

$$A = A(x') \quad (\text{与 } y' \text{ 无关}) ;$$

而且，我们只观察 $y = 0$ 处的衍射场，



(本课程大多数情况下的) 夫琅禾费衍射公式

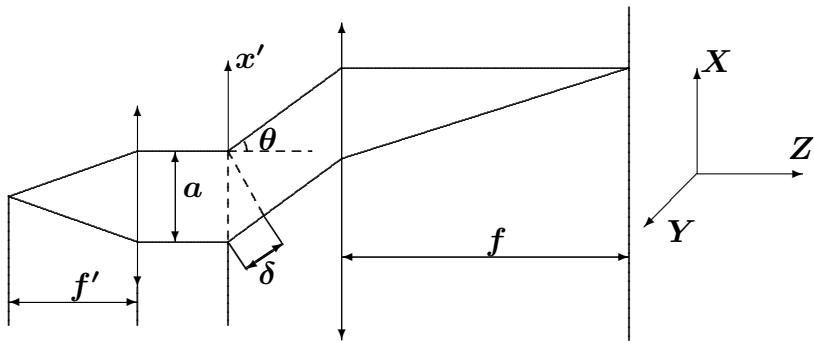
于是

$$A_p(x) = c' \int A(x') e^{i2\pi \sin \theta x' / \lambda} dx',$$

式中, $x = f \tan \theta$ (f 是透镜焦距), $A(x')$ 是 Σ 面上的复振幅, $A_p(x)$ 是透镜焦平面上衍射角为 θ 处的复振幅。

2.2 单缝夫琅禾费衍射

示意图



$$\begin{aligned}
 A_p(x) &\sim A' \int_{-a/2}^{a/2} e^{i2\pi \sin \theta x' / \lambda} dx' \\
 &= A' a \frac{\sin[(\pi a / \lambda) \sin \theta]}{(\pi a / \lambda) \sin \theta}
 \end{aligned}$$

光强分布：

$$I(x) \sim |A_p(x)|^2$$

所以，单缝夫琅禾费衍射的光强分布为：

$$I = I_0 \frac{\sin^2 \alpha}{\alpha^2}, \quad \alpha = \frac{\pi a}{\lambda} \sin \theta$$

讨论

1. 极小（零点）位置

$$\begin{aligned}\sin \alpha &= 0 \rightarrow \alpha = k\pi \\ \rightarrow a \sin \theta &= k\lambda \quad (\alpha \neq 0)\end{aligned}$$

2. 主极大

$$\alpha = 0, \quad I = I_0$$

此时光强最大。为什么？分别从数学、物理角度看

3. 次极大

$$\begin{aligned}\mathrm{d}I/\mathrm{d}\alpha &= 0 \rightarrow \\ a \sin \theta &= \pm 1.43\lambda, \pm 2.46\lambda, \pm 3.47\lambda, \dots\end{aligned}$$

4. 第一级次极大光强 \sim 主极大光强 $\times 5\%$

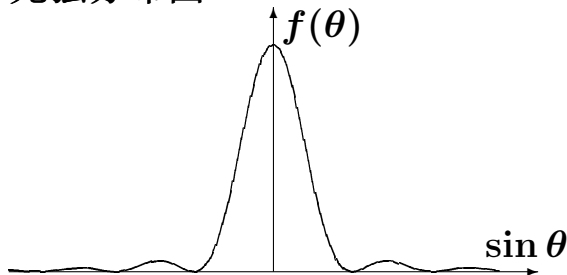
讨论

5. 各级亮纹角宽度 $a \cdot \theta \approx k\lambda$, $a\delta\theta = \delta k \cdot \lambda$

$$\text{中央 } \delta k = 2 \quad \delta\theta = 2\lambda/a$$

$$\text{其他 } \delta k = 1 \quad \delta\theta = \lambda/a$$

6. 光强分布图



7. 衍射反比律，几何光学极限

$a \uparrow \rightarrow \delta\theta \downarrow$, $a \downarrow \rightarrow \delta\theta \uparrow$ 有普遍意义

$\lambda/a \rightarrow 0$: 几何光学极限, $\delta\theta = 0$

另一种简易方法：半波带法

基本的物理图象、思路

主要结论：

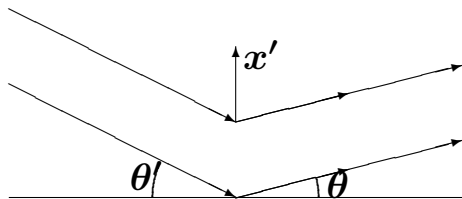
1. 缝宽=偶数个半波带 \implies 合振动= 0
(严格、物理意义明显)

$$\delta = a \sin \theta = 2k \frac{\lambda}{2} = k\lambda$$

2. 缝宽=奇数（1个除外）个半波带 \approx 合振动极大

$$\delta = a \sin \theta = \pm 1.5\lambda, \pm 2.5\lambda, \pm 3.5\lambda, \dots$$

斜入射问题



解析法，斜入射导致的附加光程差

$$\delta' = (a - x') \sin \theta'$$

$$A'(x') = A_0 e^{i\phi(x')}, \quad \phi(x') = \frac{2\pi}{\lambda} x' \sin \theta'$$

半波带法，缝两端的光程差

$$\delta_{\text{total}} = a \sin \theta + a \sin \theta' = a(\sin \theta + \sin \theta')$$

正入射变斜入射的小窍门

将前面的相关公式中

$$\text{光程差 } a \sin \theta \rightarrow a(\sin \theta + \sin \theta')$$

正入射 \rightarrow 斜入射

最大级次问题

暗纹条件 ($\delta = k\lambda, k \neq 0$) \oplus δ 有限
 $\implies k$ 有限

正入射 $\delta = a \sin \theta \leq a \rightarrow k \leq a/\lambda;$

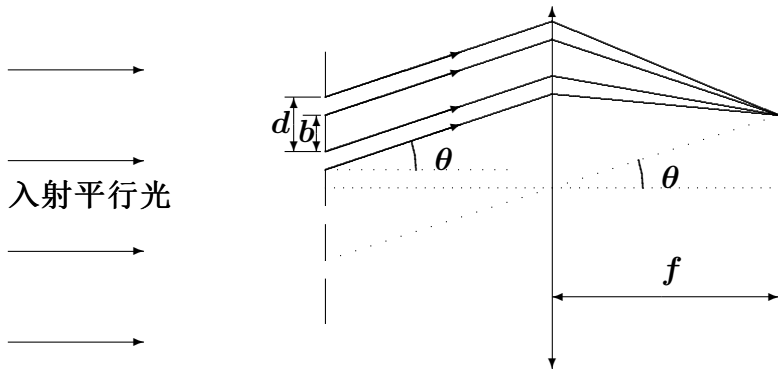
斜入射

$\delta = a(\sin \theta + \sin \theta') \leq a(1 + \sin \theta')$
 $\rightarrow k \leq (1 + \sin \theta')a/\lambda$

2.3 光栅衍射

一、结构示意图

结构、制造方法（见教材相关部分）



光栅常数 $d = a + b$

2.3 光栅衍射

二、计算方法：多光束干涉+单缝夫琅禾费衍射

第 j 个单缝在P点激发的振动

($j = 0, 1, 2, \dots, N - 1$) 的复振幅

$$A_j = A_0(\theta) e^{-i \frac{2\pi}{\lambda} j \delta}, \quad \delta = d \sin \theta$$

$A_0(\theta)$ —单缝夫琅禾费衍射复振幅。

合振动的复振幅

$$A = \sum_{j=0}^{N-1} A_j = A_0(\theta) \sum_{j=0}^{N-1} e^{-i \frac{2\pi}{\lambda} j \delta}$$

光强分布

$$I \propto |A|^2 = |A_0(\theta)|^2 \left[\frac{\sin(N\beta)}{\sin \beta} \right]^2,$$

$$\beta = \pi \delta / \lambda = \frac{\pi d}{\lambda} \sin \theta$$

所以,

$$I = I_s(\theta) \frac{\sin^2(N\beta)}{\sin^2 \beta} = I_0 \frac{\sin^2 \alpha}{\alpha^2} \frac{\sin^2(N\beta)}{\sin^2 \beta},$$

$$\beta = \pi \delta / \lambda = \frac{\pi d}{\lambda} \sin \theta, \quad \alpha = \frac{\pi a}{\lambda} \sin \theta$$

讨论A. 因子 $\sin^2(N\beta)/\sin^2\beta$ 的影响 多光束干涉的结果

1. 零点 $\sin(N\beta) = 0$, ($\sin\beta \neq 0$)

$$Nd \sin \theta = k\lambda, \quad \sin \theta = k \frac{\lambda}{Nd}$$

N 往往很大 \Rightarrow 零点很稠密：零点间隔

$$\delta\theta = \frac{\lambda}{Nd \cos \theta}, \quad (\sin \beta \neq 0)$$
$$\sin \theta \sim \theta?$$

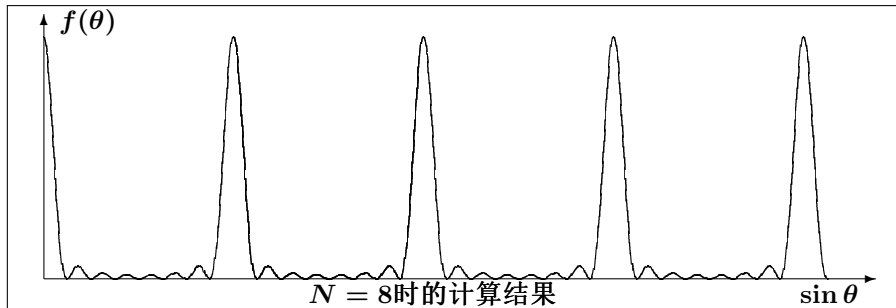
2. 主极大

$\sin \beta = 0 \rightarrow d \sin \theta = k\lambda \rightarrow \sin \theta = k\lambda/d$
此时 $I = N^2 I_s(\theta)$ 鲜明的物理意义

讨论A. 因子 $\sin^2(N\beta)/\sin^2\beta$ 的影响 (续)

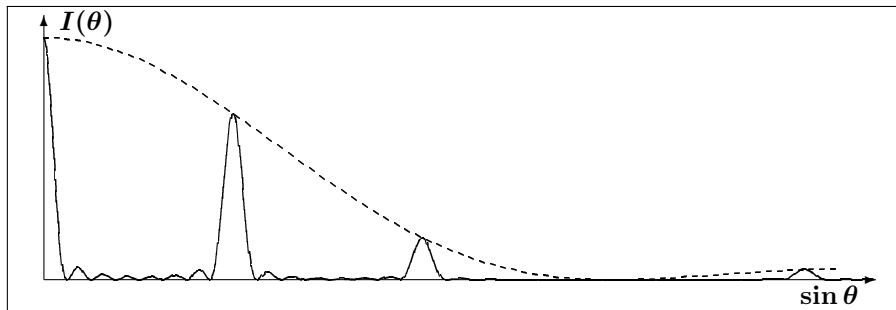
1. 注意！主极大角宽度 $\Delta\theta = \frac{2\lambda}{Nd \cos \theta}$ ，
是次极大角宽度的2倍

2. 小结：曲线 $f(\theta) = \sin^2(N\beta)/\sin^2\beta$ 的形状



N 很大时，主极大强度遥遥领先，极亮、极细锐
能量高度集中于主极大处
(多光束干涉的典型特征)

讨论B. 最终结果。因子 $\sin^2 \alpha / \alpha^2$ 和缺级现象



$d/a = 3, N = 8$ 时的计算结果。

虚线是 $N^2 \sin^2 \alpha / \alpha^2$ 的计算结果

缺级现象

(当 $d \sin \theta = k\lambda$, $a \sin \theta = k'\lambda$ 同时满足时)

讨论C. 斜入射

- ▶ 多光束干涉部分，在相关公式（见讲义）中

$$\delta = d \sin \theta \rightarrow \delta = d(\sin \theta \pm \sin i)$$

即可；

- ▶ I_s 部分，已在单缝夫琅禾费衍射部分讨论。

$$a \sin \theta \rightarrow a(\sin \theta \pm \sin i)$$

光栅衍射作业常用公式

基本方程及其理解

零点条件: $Nd(\sin \theta \pm \sin i) = k'\lambda \quad (a)$

主极大条件: $d(\sin \theta \pm \sin i) = k\lambda \quad (b)$

缺级条件: $a(\sin \theta \pm \sin i) = k''\lambda \quad (c)$

部分导出结果:

(a) \rightarrow 零点间隔 \rightarrow (1)式

((a)+(b)) \rightarrow 主极大角宽度 \rightarrow (2)式

((a)+(b)) + 瑞利判据 \rightarrow 分辨本领 \rightarrow (3)式

光栅衍射作业常用公式

部分导出结果

部分导出结果：

$$\text{一般零点间隔} \quad \delta\theta = \frac{\delta k' \lambda}{Nd \cos \theta} = \frac{\lambda}{Nd \cos \theta} \quad (1)$$

$$\text{主极大角宽度} \quad \Delta\theta = 2\delta\theta \quad (2)$$

$$\text{分辨本领} \quad R \stackrel{\text{定义}}{=} \lambda/\delta\lambda = kN \quad (3)$$

(3)中， $\delta\lambda$ 是按瑞利判据“刚能分辨”的波长间隔。

2.4 X射线衍射（自学）

- ▶ 布拉格公式，了解主要的物理机制：X射线在周期性结构上衍射引起的多光束干涉
- ▶ 在隧道显微镜出现之前，几乎是直接探测微观结构的唯一手段，现在仍是重要手段
- ▶ 典型的多光束干涉。具有典型多光束干涉的特征：能量高度集中在主极大方向
（所有光束 之间的光程差都是波长的整数倍）

2.5 光学仪器分辨本领

(自学、重要)

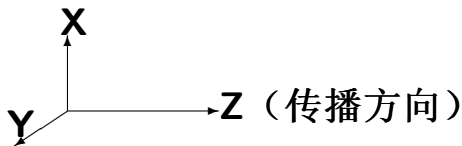
- ▶ 一个很重要的实际问题：光学仪器的分辨本领受衍射效应的限制
- ▶ 估算公式
- ▶ 典型情况的数量级概念；常见的几个现象（随各人兴趣而异）

3 光的偏振

3.1 五种偏振态

前面的光学都忽视了一个重要问题：振动方向

可以肯定的是， \vec{E} 、 \vec{B} 一定在X-Y平面内，但在X-Y平面内怎么振动法就不确定了， 所以引入偏振态的概念



定义：（见书）

光矢量： \vec{E} 、

偏振态：

3.1.1 初步的理论分析：可能的偏振态

\vec{E} 是矢量

$$\therefore \vec{E}(\vec{r}, t) = E_x(\vec{r}, t)\hat{x} + E_y(\vec{r}, t)\hat{y}$$

1、严格单色光

$$E_x = A_x \cos(\omega t - kz + \phi_x)$$

$$E_y = A_y \cos(\omega t - kz + \phi_y)$$

同一点， z 都相同，可以简化为

$$E_x = A_x \cos(\omega t + \phi_x)$$

$$E_y = A_y \cos(\omega t + \phi_y)$$

严格单色光（续）

$$E_x = A_x \cos(\omega t + \phi_x)$$

$$E_y = A_y \cos(\omega t + \phi_y)$$

- ▶ \vec{E} 端点轨迹：椭圆；
- ▶ 转速： ω ；
- ▶ 转向？由 $\phi_x - \phi_y$ 决定

直线、圆、椭圆

细分：左旋、右旋 $\leftrightarrow \phi_x - \phi_y, A_x, A_y$
长短轴取向

其中， $\phi_x - \phi_y$ 尤其关键

实际情况

光源发光特点→严格单色光不存在

引入准单色光模型： ϕ_x, ϕ_y 随机缓变（与 ωt 比）

$\therefore \begin{cases} A. \phi_x - \phi_y \text{与} t \text{无关} & \text{——— 很特殊} \\ B. \phi_x - \phi_y \text{随机缓变} & \text{——— 一般情况} \end{cases}$

情况A：仍是偏振光（椭、线）

情况B：没有稳定的轨迹

3.1.2 五种偏振态及其表示

1、 线偏振光（见书）

2、 椭圆偏振光（见书）补充：转向不变

等价表述：可以分解为

两相互垂直、有恒定位相差的线偏振光

3、 圆偏振光（见书，椭圆偏振光的特例）

3.1.2 五种偏振态及其表示（续）

4、自然光 普通光源发的光

- ▶ 单个原始波列：线偏振
- ▶ 总体：振动方向、初位相轴对称且均匀地随机分布
讨论：瞬时线偏？一个个原始线偏波列排队进门？

可靠理解：

对垂直传播方向的任意两互相垂直的方向 \hat{x} 、 \hat{y} ，自然光总可以分解为振动方向分别在 \hat{x} 、 \hat{y} 方向的两线偏振光的合成。这两线偏振光强度相等，但它们之间的位相差随时间随机变化

5、部分偏振光：自然光+线偏振光（？）

3.2 线偏振光的起偏和检偏

(一)：偏振片

一、理想偏振片

光矢量 // 偏振化方向 完全通过

光矢量 \perp 偏振化方向 完全通不过

\therefore 出射光为线偏振，且

自然光入射 $I_{\text{出}} = I_0/2$

线偏振光入射 $I_{\text{出}} = I_0 \cos^2 \alpha$

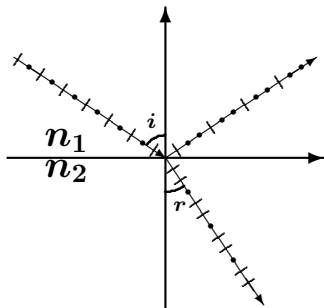
3.3 线偏振光的起偏和检偏

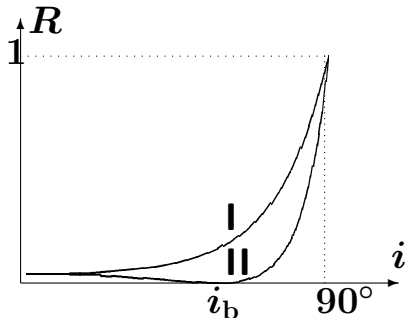
(二)：反射与折射

自然光入射折射率分别为 n_1, n_2 的两种介质的界面时，反射光和折射光都是部分偏振的，如图所示。当入射角 i 等于一个特殊的角度（布儒斯特角 i_b ）时，反射光是线偏振光。

$$\tan i_b = n_2/n_1$$

特点： $i = i_b$ 时，反射光线与折射光线垂直





光从空气入射折射率为1.5的玻璃时，反射率随入射角 i 的变化， i_b 是布儒斯特角。 $i = 0$ 时，反射率约4%， $i = 90^\circ$ 时，反射率为100%。

曲线I: ●偏振的反射率 R_1 ;

曲线II: // 偏振的反射率 R_2

$$I_j = R_j I_{0j},$$

$j = 1, 2$ 分别对应两种偏振，

I_j 、 I_{0j} ——偏振为 j 的出射光强和入射光强。

3.5 波片、椭圆偏振光的起偏和检偏

3.5.1 波片：一种重要的光学元件

波片

- ▶ 通常指一种双折射晶体薄片
- ▶ 双折射晶体的光轴平行于晶片表面
- ▶ 使用中通常要求光线垂直入射。

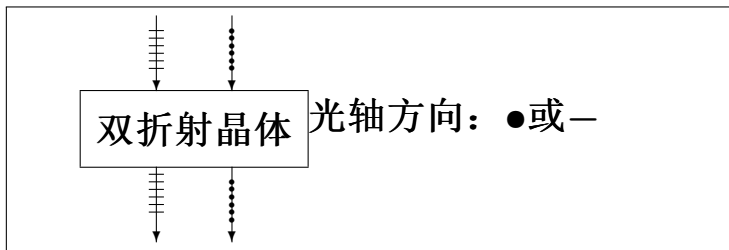
波片内，

- ▶ e光：光矢量 // 光轴；o光：光矢量 \perp 光轴
- ▶ o、e光在波片内有不同的折射率 n_o 、 n_e 。

因此，o光、e光经过波片后位相差会发生变化。

正晶体（石英等）： $n_o < n_e$ ；

负晶体（方解石等）： $n_o > n_e$ 。



o、e光之间附加相位差 $(n_o - n_e)d \frac{2\pi}{\lambda}$

$$|n_o - n_e|d = \begin{cases} (k + 1/2)\lambda, & \text{--- 1/2波片} \\ (k + 1/4)\lambda, & \text{--- 1/4波片} \end{cases}$$

k -整数。

例：考虑线偏振光入射某一波片 (n_o, n_e, d)、振动方向与波片光轴成 α 角的情况。分析出射光。

解：

入射光可写作

$$\vec{A} \cos \omega t = A_e \cos \omega t \hat{y} + A_o \cos \omega t \hat{x}$$

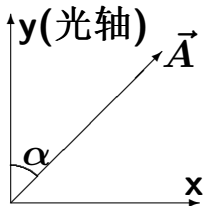
其中 $A_e = A \cos \alpha$, $A_o = A \sin \alpha$

出射光为：

$$A_e \cos(\omega t + \phi_0 + \Delta\phi) \hat{y} + A_o \cos(\omega t + \phi_0) \hat{x},$$

其中, $\Delta\phi = (n_o - n_e)d \frac{2\pi}{\lambda}$, 当 $\alpha \neq 0$ 时,

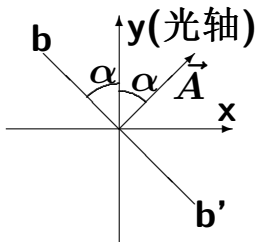
$$\Delta\phi = \begin{cases} n\pi & \text{线偏振} \\ \neq n\pi & \text{椭圆偏振 (含圆偏振)} \end{cases}$$



特例：1/2波片 ($|\Delta\phi| = \pi$)

出射光为：

$-A \cos \alpha \cos(\omega t + \phi_0) \hat{y} +$
 $A \sin \alpha \cos(\omega t + \phi_0) \hat{x},$
仍然是线偏振，但振动方向转了 2α 角（从 \vec{A} 方向转到 \vec{b}' 方向）



特例：1/4波片 ($|\Delta\phi| = \pi/2$)

出射光为：

$A \cos \alpha \cos(\omega t + \phi_0 \pm \pi/2) \hat{y} +$
 $A \sin \alpha \cos(\omega t + \phi_0) \hat{x},$
是以x, y轴（光轴）为轴的正椭圆

3.5.2 椭圆偏振光的起偏和检偏

可以验证，

五种偏振态的入射光经 $1/4$ 波片后的结果如下：

见讲义表

检验圆偏振、椭圆偏振的依据。

具体做法：自学、自己想

3.6 偏振光的干涉

已知：如图。两振动方向互相垂直、有恒定的位相差 ϕ 、振幅分别为 \vec{A}_1 、 \vec{A}_2 的两线偏振光入射偏振片 \mathbf{P} ，求出射光强。

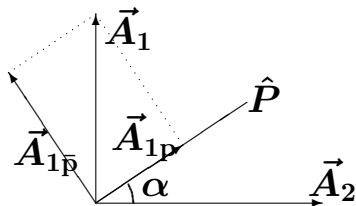
解一：

分解 \vec{A}_1 、 \vec{A}_2 ：

$$\vec{A}_1 = \vec{A}_{1p} + \vec{A}_{1\bar{p}},$$

$$\vec{A}_2 = \vec{A}_{2p} + \vec{A}_{2\bar{p}}$$

p, \bar{p} : // 和 $\perp \mathbf{P}$ 的方向



$\vec{A}_{1\bar{p}}$ 、 $\vec{A}_{2\bar{p}}$ 被吸收， \vec{A}_{1p} 、 \vec{A}_{2p} 透过，出射光为：

$$\vec{E} = \vec{A} \cos \omega t, \quad \vec{A} = \vec{A}_{1p} + \vec{A}_{2p}$$

解二：
入射

$$\begin{cases} \vec{E}_1 = \vec{A}_{1p} \cos \omega t + \vec{A}_{1\bar{p}} \cos \omega t \\ \vec{E}_2 = \vec{A}_{2p} \cos(\omega t + \phi) + \vec{A}_{2\bar{p}} \cos(\omega t + \phi) \end{cases}$$

出射

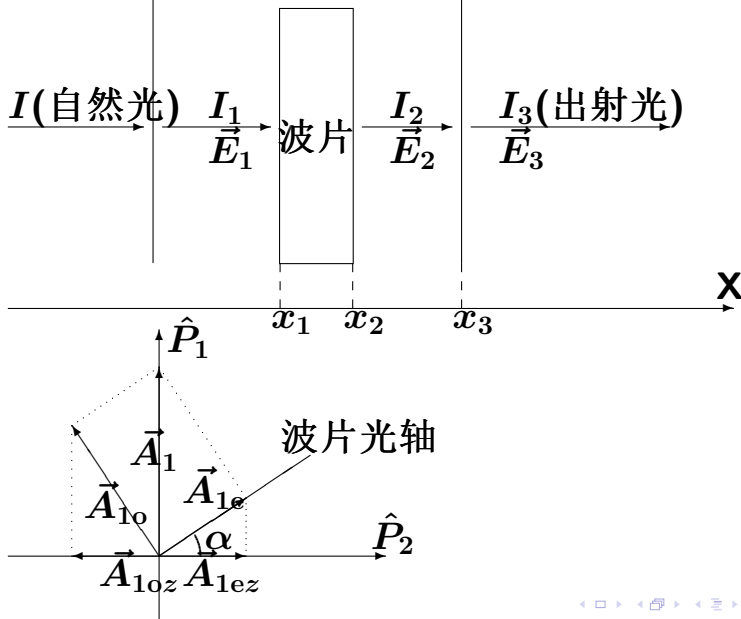
$$\begin{aligned} \vec{E} &= \vec{A}_{1p} \cos(\omega t + \phi') + \vec{A}_{2p} \cos(\omega t + \phi + \phi') \\ &= \hat{p}[A_1 \sin \alpha \cos \omega t + A_2 \cos \alpha \cos(\omega t + \phi)] \end{aligned}$$

讨论：

- ▶ 出射光强与 ϕ 有关，干涉现象
- ▶ 分量干涉。无偏振片时，两分量干涉结果抵消

实际装置:

偏振片1(偏振方向 \hat{y}) 偏振片2(偏振方向 \hat{z})



$x = x_1$ 处:

$$\vec{E}_1 = \vec{A}_1 \cos \omega t = \vec{A}_{1o} \cos \omega t + \vec{A}_{1e} \cos \omega t$$

$x = x_2$ 处:

$$\vec{E}_2 = \vec{A}_{1o} \cos(\omega t + \phi_1 + \delta\phi) + \vec{A}_{1e} \cos(\omega t + \phi_1)$$

$$\text{即: } \vec{A}_{1o} \cos(\omega t + \delta\phi) + \vec{A}_{1e} \cos(\omega t)$$

$$\delta\phi = -\frac{2\pi}{\lambda}(n_o - n_e)d$$

$x = x_3$ 处:

($\vec{A}_{1oz}, \vec{A}_{1ez}$: $\vec{A}_{1o}, \vec{A}_{1e}$ 在 \hat{p}_2 方向的投影)

$$\vec{E}_3 = \vec{A}_{1oz} \cos(\omega t + \delta\phi) + \vec{A}_{1ez} \cos(\omega t)$$

所以, $E_3 = -A_{1oz} \cos(\omega t + \delta\phi) + A_{1ez} \cos(\omega t)$

$$E_3 = -A_{10z} \cos(\omega t + \delta\phi) + A_{1ez} \cos(\omega t)$$

$$A_{10z} = A_{10} \sin \alpha = A_1 \cos \alpha \sin \alpha,$$

$$A_{1ez} = A_{1e} \cos \alpha = A_1 \sin \alpha \cos \alpha$$

$$E_3 = \frac{1}{2} A_1 \sin(2\alpha) [\cos(\omega t + \delta\phi + \pi) + \cos(\omega t)]$$

干涉极大 $\delta\phi = (2k + 1)\pi$

干涉极小 $\delta\phi = 2k\pi$

讨论:

1. $\hat{p}_1 \perp \hat{p}_2 \rightarrow A_{10z} = A_{1ez}$, 对比度好

2. 厚度 d 不均匀时

3. 白光入射, 色偏振:

d 或 $n_o - n_e$ 不均匀 \rightarrow 彩色条纹

3.7 人工双折射

- ▶ 双折射源于各向异性，光轴：对称轴
- ▶ 各向同性 $\xrightarrow{\text{外力(场)}}$ 各向异性
- ▶ 对称轴：外力、外场方向
- ▶ 各向异性程度 $n_o - n_e \propto (\text{外力或外场})^2$

3.8 旋光现象（自学）

- ▶ 可用于“光隔离器”（仅限于法拉第效应。有磁场时，光线不再可逆）
- ▶ 为什么偏振面旋转角正比于浓度？
- ▶ 生物分子的右旋性